

## (293) 連続鋳造におけるモールドパウダー巻き込みの評価

日本钢管 京浜製鉄所 半明 正之 栗林 章雄 山上 謙  
小倉 康嗣 ○廣瀬 俊幸

## 1. 緒言

連続鋳造における高清浄化の一つとしてモールドパウダーの巻き込みを防止することが重要である。モールドパウダー巻き込みを、操業条件（溶鋼流速、鋳片サイズ、浸漬ノズル形状、Ar 流量など）から評価する指標を提案し、実操業における結果との比較を行った。

## 2. モールドパウダーの巻き込み

オイルをモールドパウダーとして実験した水モデルの観察からモールドパウダーの巻き込みは (1) 上向き反転流により、反転流に沿って巻き込まれるもの (Fig 1 - A) (2) 浸漬ノズル側壁部で、垂直方向に巻き込まれるもの (Fig 1 - B) (3) 浸漬ノズル側壁部近くで、モールド内吹込 Ar のバーリングによって巻き込まれるもの (Fig 1 - C) の 3 種類がある。(3)の巻き込みは溶鋼吐出量に対し極度に Ar 吹込み量が多い場合のみのため、ここでは(1)(2)の巻き込みに対して評価した。

## 3. モールドパウダー巻き込みの評価

水モデルより求めた浸漬ノズル吐出口部、反転流のメニスカス部の溶鋼流速と、吐出流量から、吐出流、反転流のメニスカス部での仕事率のパラメータ  $\dot{E}_m$ 、 $\dot{E}_o$  を(1)(2)式で定義し、水モデルにおける上記(1)、(2)のパウダー巻き込み現象の単位時間当たりの発生回数を測定した。Fig 1 - A 部での巻き込み発生回数  $N_m$  は  $\dot{E}_m$  に依存し、Fig 1 - B 部での巻き込み発生回数  $N_o$  は  $\dot{E}_o$  に依存し、個々の関係は(3)(4)式で示される。(Fig 2, 3)

$$\dot{E}_m = \frac{1}{2} M_m V_m^2 \quad \dots \dots \dots (1) \quad V_m : \text{反転流速}, V_o : \text{吐出流速} (\text{m/sec})$$

$$\dot{E}_o = \frac{1}{2} M_o V_o^2 \cdot d / d_o \quad \dots \dots \dots (2) \quad M_m : \text{反転流量}, M_o : \text{吐出流量} (\text{t/sec})$$

$$N_m = 0.5 \dot{E}_m - 30 \quad \dots \dots \dots (3) \quad d : \text{浸漬深さ} (\text{m})$$

$$N_o = 0.8 \times 10^{-2} \dot{E}_o + 2 \quad \dots \dots \dots (4)$$

ここで、二点でのモールドパウダー巻き込みを表わす指標としてモールドパウダー巻き込み指数  $K$  を定義した。

$$K = N_m + N_o = 0.5 \dot{E}_m + 0.8 \times 10^{-2} \dot{E}_o - 28 \quad \dots \dots \dots (5)$$

## 4. 製品欠陥との対応

冷延鋼板における、検査結果から  $K$  の増加に伴いモールドパウダー起因の介在物性欠陥の増加が認められる。(Fig 4)

このようなモールドパウダー巻き込みを起因とする製品欠陥を防止するための操業条件は  $K$  により決定することができる。

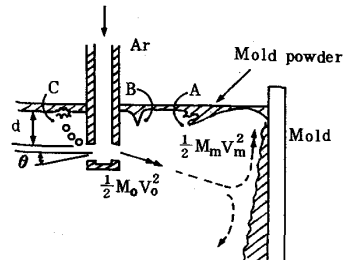


Fig. 1 Schematic view of mold powder trapping in mold

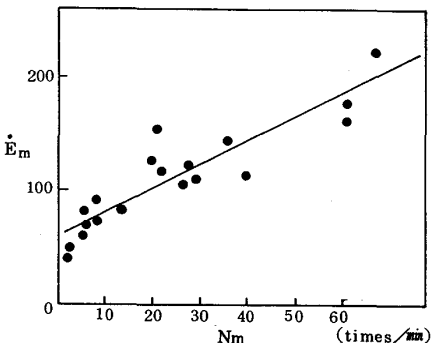


Fig. 2 Relation between  $\dot{E}_m$  and powder trapping frequency at A :  $N_m$  (water model)

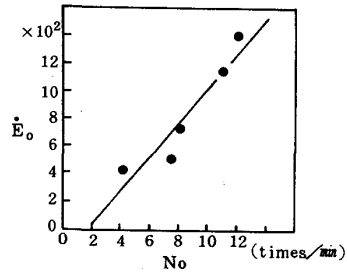


Fig. 3 Relation between  $\dot{E}_o$  and powder trapping frequency at B :  $N_o$  (water model)

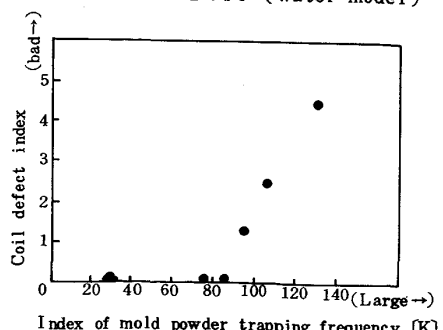


Fig. 4 Relation between mold powder trapping index and coil defects index